

АВТОВОЛНА СПИНОВОЙ ПОЛЯРИЗАЦИИ В МАГНИТОСМЕШАННОМ (ПОЛУМАГНИТНОМ) ПОЛУПРОВОДНИКЕ

Ю. Г. Семенов, В. А. Стефанович

В полумагнитном полупроводнике типа $A_{1-x}Mn_xB^6$ в условиях, близких к необходимым для реализации безрезонаторной оптической бистабильности, может возникнуть автоволна локальной спиновой поляризации, устойчивая в определенной области параметров оптической накачки.

Реализация диссипативных структур в твердых телах требует, как правило, высокой плотности рассеиваемой мощности, когда становятся существенными нелинейные явления. Между тем парамагнитные спиновые системы уже при сравнительно низком уровне возбуждения проявляют нелинейность, связанную, например, с магнитным насыщением в условиях динамической поляризации, если только скорость спин-решеточной релаксации τ_{eL}^{-1} достаточно мала. С этой точки зрения магнитосмешанные (полумагнитные) полупроводники (МСП)¹ являются перспективными материалами для реализации диссипативных структур. Так, в МСП возникает оптическая бистабильность при подсветке с энергией $k\nu \approx E_g$ (в равновесии $h\nu < E_g$) и интенсивностью, достаточной для такого "красного" смещения края фундаментального поглощения E_g , при котором резко усиливается коэффициент оптического поглощения $\alpha = \alpha(h\nu - E_g)$. В распространенном случае кубических МСП типа $A_{1-x}Mn_xB^6$ механизм указанного смещения обусловлен изменением гигантского спинового расщепления энергетических зон¹, пропорциональным динамической поляризации ΔP локализованных спиновых моментов (ЛСМ) при обменном рассеянии (ОР) на них фотовозбужденных (светом π -поляризации) дырок. Возбуждаемые при этом электроны не участвуют в ОР с переворотом локализованных спиновых моментов и выпадают из рассмотрения².

Степень отклонения ΔP от равновесного значения P_0 спиновой поляризации ЛСМ определяется для тонкого (по сравнению с α^{-1}) кристалла отношением скорости генерации неравновесных по спину электронно-дырочных пар к спин-релаксационному потоку $n_l \tau_{eL}^{-1}$ (n_l – объемная концентрация ЛСМ). Ситуация качественно меняется в случае массивных образцов, когда оптической мощности не хватает для существенного изменения P во всем кристалле. Неравновесным при этом остается сравнительно непротяженный участок МСП с локально повышенной намагниченностью, в пределах которого происходит сужение запрещенной зоны E_g и поглощение основной части световой энергии. Локальная неоднородность намагниченности вдали от граней кристалла движется навстречу световому потоку вследствие спиновой диффузии в МСП, разделяя кристалл на ждущую, возбужденную и угнетенную (тениевую) области. Анализ условий возникновения данного явления включает вывод уравнения для ΔP , поиск автоволновых решений и рассмотрение их устойчивости.

В общем случае кинетическое уравнение для поляризации ЛСМ P выводится из системы уравнений для ΔP , поляризации P_h и концентрации n_h фотовозбужденных дырок. Если рассматривать P как медленную переменную, которой подчинены быстрые переменные P_h , n_h , а также считать диффузионную длину дырок достаточно короткой $L_{h,op} = (D_h \tau_{op}^h)^{1/2} \ll \alpha_{max}^{-1}$ (τ_{op}^h – время ОР дырок на ЛСМ в МСП, $\tau_{op}^h \sim 10^{-10} - 10^{-11}$ с), то для ΔP можно получить замкнутое уравнение, учитывающее вклады генерационного, спин-релаксационного и спин-диффузионного процессов

$$\frac{\partial \Delta P}{\partial t} = \frac{2\Sigma*(\Delta P)}{n_l} - \Delta P \tau_{eL}^{-1} + D_s \frac{\partial^2 \Delta P}{\partial r^2}, \quad \left. \frac{\partial \Delta P}{\partial r} \right|_{r=r_f} = 0, \quad (1)$$

$$r=r_b$$

где

$$\Sigma^*(\Delta P) = (I_0/h\nu) \alpha(G_m^\pi \Delta P - \Delta E_0) \exp \left\{ - \int_{r_f}^r \alpha(G_m^\pi \Delta P' - \Delta E_0) dr' \right\},$$

r_f — координата "лицевой" грани кристалла, сквозь которую проникает поток световой энергии с плотностью I_0 , D_s — коэффициент спиновой диффузии в направлении распространения света, $\Delta E_0 = E_0^\pi - h\nu$, E_0^π — энергия зона-зонного перехода, активного в π -поляризации, при ненасыщающей $P = P_0$, G_m^π — сдвиг E_0^π в пределе $P \rightarrow 1$.

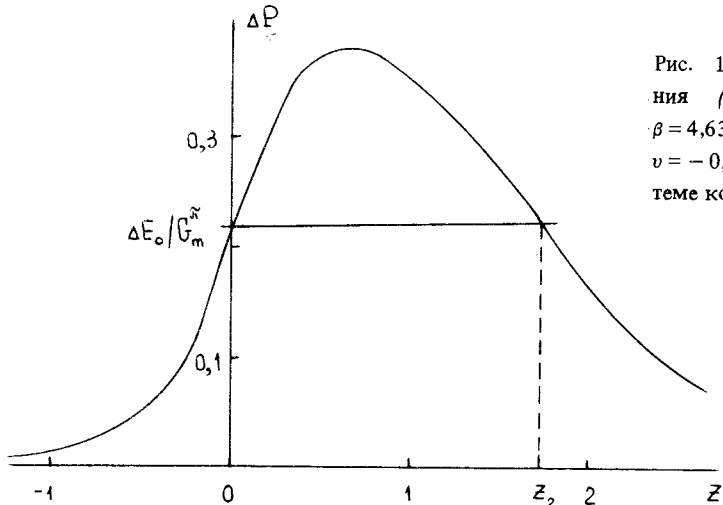


Рис. 1. Форма автоволны уравнения (2). Кривая построена для $\beta = 4,63$; $d = 0,3$. Этому отвечает $\nu = -0,5$; $z_2 = 1,77$. В выбранной системе координат $z_1 = 0$

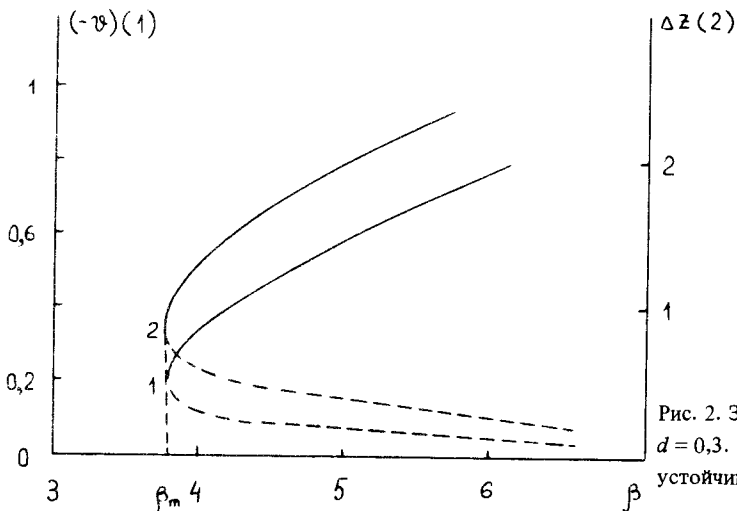


Рис. 2. Зависимость $v(\beta)$ (1), $\Delta z(\beta)$ (2). $d = 0,3$. Сплошная линия отвечает устойчивым автоволнам

Уравнению (1) приближенно удовлетворяет волновое решение $\Delta P(r, t) = \Delta P(r - Vt)$ при выполнении следующих двух условий: 1) автоволна удалена от передней (r_f) и задней (r_b) граней кристалла; 2) $\alpha^{-1}(\Delta E_0) \gg r_2 - r_1$, где $r_2 - r_1$ — характерная ширина автоволны. Уравнение (1) аналогично уравнению для концентрационного домена³ и строго редуцируется в уравнение относительно автомодельной переменной $\xi = r - Vt$, если утрировать данные условия, полагая $r_f \rightarrow -\infty$, $r_b \rightarrow \infty$, $\alpha(-\Delta E_0) = 0$. Более того, проведенный анализ показал, что качественно свойства $\Delta P(\xi)$ отражает аппроксимация $\alpha(y) = \lambda^{-1} \Theta(y)$ ($\Theta(y)$ — ступенчатая функция

Хевисайда), позволяющая записать (1) в виде

$$\hat{L} \Delta P = . \begin{cases} -\beta \exp[z_1 - z], z_1 \leq z \leq z_2 \\ 0, z < z_1, z > z_2 \end{cases} \quad (2)$$

$$\hat{L} = d \frac{\partial^2}{\partial z^2} + v \frac{\partial}{\partial z} - 1,$$

где $d = D_s \tau_{eL} \lambda^{-2}$, $v = V\tau/\lambda$, $\beta = 2I_0 \tau_{eL} / h\nu m_l \lambda \left(\frac{\Delta E_0}{G_m^\pi} - P_0 \right)$, $z = \xi/\lambda$; z_1 , z_2 – корни уравнения

$\Delta P(z) = \Delta E_0 / G_m^\pi$ (рис. 1). При этом условие непрерывности решений уравнения (2) по функции и производной в точках z_1 и z_2 дают уравнения для определения v и $\Delta z = z_2 - z_1$ при всех значениях приведенной подсветки β , что позволяет полностью определить характеристики автоволны $\Delta P(z)$. Численные решения этих уравнений приведены на рис. 2. Они отражают физическую суть задачи: автоволна движется навстречу ($V < 0$) световому потоку; само ее существование возможно лишь при достаточно интенсивной подсветке $\beta > \beta_m$. Таким образом критическая $\beta_m = \beta_m(d)$ играет роль фазовой диаграммы равновесных систем и выделяет область значений β , d , при которых возбуждение автоволны возможно (рис. 3). Зависимость ширины автоволны Δz от β и d качественно подобна зависимости $v = v(\beta, d)$ (рис. 2). При этом предельные значения V_m и Δz_m соответствуют одним и тем же β и d . Анализ устойчивости автоволны, проведенный с использованием общего уравнения (1) по отношению к флуктуациям Δr , показал, что решения, отвечающие нижним ветвям кривых $v(\beta)$ (либо $\Delta z(\beta)$), неустойчивы, в то время как решения, отвечающие верхним ветвям соответствующих кривых и описывающие увеличение скорости автоволны вместе с ее шириной при возрастании интенсивности оптической накачки, являются устойчивыми.

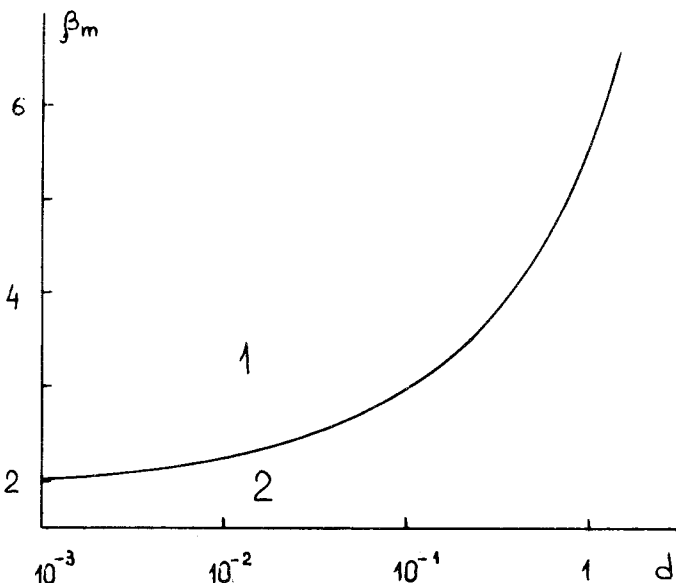


Рис. 3. Зависимость $\beta_m(d)$. Возбуждение автоволны возможно в области 1

Таким образом проведенные исследования показали, что в МСП при определенных условиях оптического возбуждения действительно может реализоваться автоволна спиновой поляризации, наблюдение движения которой по излучательной рекомбинации носителей после их ОР на ЛСМ позволило бы "визуализировать" спиновую диффузию в таких неупорядоченных магнетиках. Численные оценки, проведенные с использованием полученных выше резуль-

татов, показали¹, что в МСП $eE_g = 2,5$ эВ, $x = 2 \cdot 10^{-3}$, $\tau_{eL} = 10^3$ с, $\lambda = 1$ мкм и $d < 0,1$ для возбуждения автоволны необходима плотность подсветки не ниже $I_0 = 1,5$ вт/см². При этом скорость автоволны будет не ниже $V = 0,02$ см/с.

Авторы благодарят С.М.Рябченко за обсуждения вопросов, затронутых в настоящей работе.

Литература

1. Изв. АН СС

1. Рябченко С.М. Изв. АН СССР, сер. физ., 1982, 46, 440.
2. Семенов Ю.Г. ФТП, 1986, 20, 1829.
3. Кочелап В.А., Соколов В.Н. КЭ, 1986, 31, 44.

Институт полупроводников
Академии наук Украинской ССР

Поступила в редакцию
23 января 1990 г.